

ผลกระทบของตัวแปรในกระบวนการดันขึ้นรูปแบบเย็นต่อสมบัติเชิงกลของแท่งอลูมิเนียม

EFFECTS OF PROCESS PARAMETERS ON MECHANICAL PROPERTIES OF COLD EXTRUDED ALUMINIUM ROD

สมชาย ตันทิวิรุพห์^{1*} สมชาย นรเศรษฐ์ศักดิ์² กรรณชัย กัลยาศิริ³

^{1,2} ภาควิชาวิศวกรรมเครื่องกล ³ ภาควิชาวิศวกรรมอุตสาหการ

คณะวิศวกรรมศาสตร์ สถาบันเทคโนโลยีพระจอมเกล้าเจ้าคุณทหารลาดกระบัง ลาดกระบัง กรุงเทพฯ 10520

*E-mail: smch46auto@yahoo.com

Somchai Tunthawiroon^{1*} Somchai Norasetthasophon² Kannachai Kanlayasiri³

^{1,2} Department of Mechanical Engineering ³Department of Industrial Engineering

Faculty of Engineering, King Mongkut's Institute of Technology Ladkrabang, Ladkrabang, Bangkok 10520

*E-mail: smch46auto@yahoo.com

บทคัดย่อ

โดยทั่วไปแล้วการดันขึ้นรูปแท่งอลูมิเนียม ที่สภาวะอุณหภูมิห้อง หรือดันขึ้นรูปแบบเย็น (cold extrusion) จะให้วุ่นร่างและคุณภาพผิดที่ ดีกว่าการดันขึ้นรูปแบบร้อนและลดต้นทุนในการผลิตได้อย่างมาก งานวิจัยนี้นำเสนอ ผลกระทบเนื่องจากตัวแปรในกระบวนการดันขึ้นรูปแบบเย็น ที่ส่งผลต่อค่าความแข็งภายในหน้าตัดของชิ้นงาน โดยการดันขึ้นรูปที่ใช้ในการศึกษาเป็นการดันขึ้นรูปแท่งอลูมิเนียม (billet) ผ่านดายรูปกรวย (conical dies) ด้วยความเร็วในการดันขึ้นรูปคงที่ จากการทดลองพบว่า ค่าความแข็งมีค่าเพิ่มขึ้นเมื่ออัตราส่วนการลดขนาดพื้นที่หน้าตัดมากขึ้นและเมื่อเบรียบที่มุ่งด้ายต่างกัน แต่มีอัตราส่วนการลดขนาดพื้นที่หน้าตัดใกล้เคียงกันพบว่า ค่าความแข็งภายในหน้าตัดของชิ้นงานมีค่าไม่แตกต่างกัน

Abstract

Generally, cold extrusion of aluminium billet provides better shape and surface finish than hot extrusion, and may reduce production cost of the extrusion process. This research presents effects of process parameters of cold extrusion on internal hardness of the aluminium billet. The billet was cold-extruded through a conical die at a constant extrusion speed. Result showed that internal hardness of aluminium billet increases as reduction ratio of area increases. When compared between two die angles, internal hardness of extruded aluminium billets are not different if area reduction ratio are not much different.

Keywords: Cold extrusion, Hardness, Dies angle

1. บทนำ

ในกระบวนการดันขึ้นรูป พื้นที่หน้าตัดของแท่งโลหะจะถูกกด หรือถูกเปลี่ยน โดยใช้แรงกดให้แท่งโลหะไหลผ่านแม่พิมพ์ที่มีวุ่นร่าง แผ่นอน ซึ่งสิ่งสำคัญที่ต้องการจากกระบวนการนี้คือ เพื่อให้ได้ผลิตภัณฑ์ที่มีคุณภาพเหมาะสมตามต้องการ คุณสมบัติของโลหะที่ปราศจากข้อบกพร่อง และ วุ่นร่างของผลิตภัณฑ์ตามต้องการ กระบวนการดันขึ้นรูปสามารถทำได้ที่อุณหภูมิปกติของสตุ คือ การดันขึ้นรูปสภาพเย็น (cold extrusion) หรือทำให้วัสดุมีอุณหภูมิสูงขึ้น (hot extrusion) ตามสภาวะที่เหมาะสมในการดันขึ้นรูป กระบวนการดันขึ้นรูปในปัจจุบันแบ่งได้เป็น 2 ประเภทหลัก คือ การดันขึ้นรูปโดยตรง (direct extrusion) และการดันขึ้นรูปโดยอ้อม (indirect extrusion)

โลหะส่วนใหญ่สามารถทำการดันขึ้นรูปได้หลายวิธี ตามความเหมาะสม ซึ่งโลหะทั่วไปที่สามารถดันขึ้นรูปได้ที่อุณหภูมิปกติคือ ตะกั่ว อลูมิเนียม และทองแดง การดันขึ้นรูปในสภาพเย็นของโลหะที่ไม่ใช่เหล็ก (cold extrusion of non-ferrous components) สามารถทำได้ง่าย เพราะ ใช้แรงในการดันขึ้นรูปหรือทำให้โลหะเปลี่ยนแปลงรูปร่างน้อยกว่าโลหะกลุ่มเหล็ก

ตัวแปรหลักๆในกระบวนการดันขึ้นรูป คือ อัตราส่วนการลดขนาดพื้นที่หน้าตัด มุ่งด้าย (dies angle) ความเสียดทานระหว่างผิวสัมผัสของดายกับชิ้นงาน และความเร็วในการดันขึ้นรูป ในส่วนของมุ่งด้ายมีผลกระทบโดยตรงกับแรงที่ใช้ในการดันขึ้นรูป และความเสียหายที่เกิดขึ้นในผลิตภัณฑ์ เช่น การเกิดร่องรอยภายในบางครั้ง เรียกว่า Chevron crack หรือรอยแตกกว้างรูปบั้งนายสิบ [1] ในทางทฤษฎีสามารถกำหนดอัตราส่วนการลดขนาด และสภาวะความเสียดทานที่แน่นอน เพื่อที่จะหมายความว่าที่ใช้แรงในการดันขึ้นรูป และความคันที่ห้อยที่สุดได้ [2] แต่ในทางปฏิบัติแล้ว ไม่สามารถนำกระบวนการดันขึ้นรูปที่มุ่งด้ายนี้

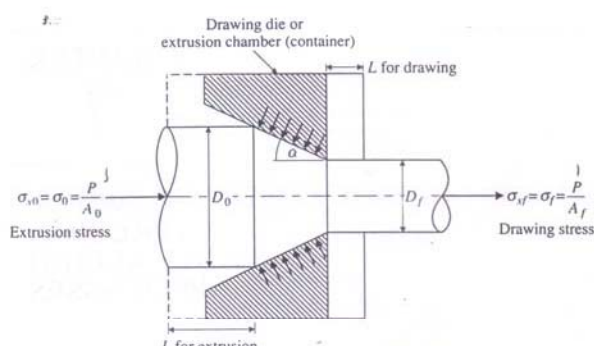
ไปใช้ได้ เพราะจะต้องพิจารณาถึงคุณสมบัติอย่างอื่นประกอบกันด้วย เช่น คุณภาพผิว ความเที่ยงตรงของขนาด การบิดเบี้ยวของชิ้นงาน ภายหลังการดันขึ้นรูป [3] ซึ่งกรณีนี้ถ้าการบิดเบี้ยวมีมากก็หมายความว่าชิ้นงานจะไม่สามารถใช้งานได้ ส่งผลต่อต้นทุนในกระบวนการผลิตที่เพิ่มขึ้นได้

ค่าความแข็งเป็นเกณฑ์อย่างหนึ่งที่ใช้ในการเลือกวัสดุ และการเลือกเครื่องมือให้เหมาะสมกับการผลิต เพื่อที่จะได้ชิ้นงานที่ทนต่อการสึกหรอและเครื่องมือที่มีอายุการใช้งานที่ยาวนาน ในงานวิจัยนี้ได้ทำการดันขึ้นรูปแท่งอลูมิเนียมขนาดด้านล่างที่อุณหภูมิห้อง และใช้สารหล่อลื่นเพื่อลดความเสียดทานระหว่างผิวสัมผัส ด้วยปริมาณ้ำศักดิ์คือ อัตราส่วนการลดขนาดพื้นที่หน้าตัด และมุมด้วย วัตถุประสงค์ในการทำงานวิจัยนี้เพื่อ ศึกษาว่าด้วยปรัชั่ง 2 ชนิดที่ได้เลือกมาข้างต้นนั้นส่งผลกระทนอย่างไร กับค่าความแข็งภายในหน้าตัดของแท่งอลูมิเนียมหลังจากผ่านกระบวนการดันขึ้นรูป

2. ทฤษฎีพื้นฐานของการดันขึ้นรูป

สิ่งสำคัญอย่างยิ่งในกระบวนการดันขึ้นรูปอลูมิเนียม ที่จะต้องพิจารณาอย่างหลีกเลี่ยงไม่ได้เลยคือ ความเด่นที่เกิดขึ้นในวัสดุขณะทำการดันขึ้นรูป เพราะความเด่นที่เกิดขึ้นจะเป็นตัวแปรสำคัญที่ส่งผลกระทบกับคุณสมบัติต่างๆ ของอลูมิเนียมที่นำมาทำการดันขึ้นรูป เช่น ค่าความต้านทานแรงดึง หรือแรงฉีนในวัสดุ หรือแม้กระทั่งความเค้นตอกค้างที่เกิดขึ้น การออกแบบโดยและเครื่องมือที่จะสามารถลดค่าความเค้นนี้ลดได้

ความเค้นที่เกิดขึ้นในแท่งอลูมิเนียมขณะที่หล่อผ่านด้วย จะเป็นความเค้นที่มีคุณสมบัติที่อยู่ในช่วงพลาสติกของอลูมิเนียมนั้นๆ การเปลี่ยนแปลงรูปร่างของ อลูมิเนียมจะเกิดการเปลี่ยนแปลงอยู่ในช่วงพลาสติกเช่นกัน คือ เป็นการเปลี่ยนแปลงรูปร่างอย่างถาวร ลักษณะของแท่งอลูมิเนียมที่หล่อผ่านด้วย ความเค้นอัด และความเค้นที่ผิวสัมผัสระหว่างแท่งอลูมิเนียมกับด้วย แสดงไว้ในรูปที่ 1



รูปที่ 1 แสดงลักษณะของอลูมิเนียมที่หล่อผ่านด้วย ความเค้นอัด และความเค้นที่ผิวสัมผัสระหว่างแท่งอลูมิเนียมกับด้วย [4]

จากหลักสภาวะการแปรรูปของความเค้น การดันขึ้นรูปแท่งอลูมิเนียมผ่านด้วยรูปกรวย เมื่อไม่คิดการสูญเสียเนื่องจากแรงเฉือนภายใน และแรงเสียดทานภายนอก จาก [1] และ [4] สมการความเค้นที่เกิดขึ้นจากการดันขึ้นรูปในกรณีที่เป็นการเปลี่ยนแปลงแบบไฮโนเจนี่เนี่ยส

จะเขียนได้ดังสมการที่ 1

$$\sigma = \bar{\sigma} \ln \frac{A_o}{A_f} = \bar{\sigma} \ln \left(\frac{1}{1 - r_e} \right) \quad (1)$$

เมื่อ σ = ความเค้นยัด

$\bar{\sigma}$ = ความเด่นไหลเฉลี่ย (Mean flow stress)

A_o, A_f = พื้นที่หน้าตัดด้านทางเข้าและทางออกด้วย

r_e = อัตราส่วนการลดขนาดพื้นที่หน้าตัด

$$= (A_o - A_f) / A_o$$

พิจารณาค่าแก้สำหรับแรงเสียดทานภายนอก และแรงเฉือนภายในที่เกิดขึ้น สมการที่ 1 สามารถเขียนใหม่ได้ดังนี้

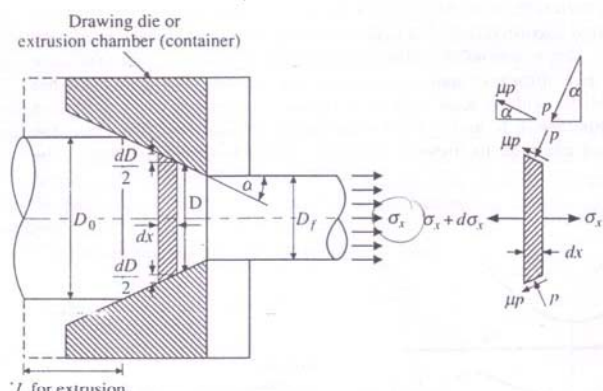
$$\sigma = C_f(\alpha) C_i(\alpha, r_e) \bar{\sigma} \ln \frac{A_o}{A_f} \quad (2)$$

$$\sigma = C_f(\alpha) C_i(\alpha, r_e) \bar{\sigma} \ln \frac{1}{1 - r_e} \quad (3)$$

เมื่อ C_f = พังก์ชันค่าปรับแก้สำหรับแรงเสียดทานภายนอก

C_i = พังก์ชันค่าปรับแก้สำหรับแรงเฉือนภายใน

α = ขนาดครึ่งมุมด้วย



รูปที่ 2 แสดงองค์ประกอบของความเค้นที่เกิดขึ้นบนแท่งอลูมิเนียม ในช่วงความยาว dx ขณะอลูมิเนียมสัมผัสน้ำด้วย [4]

จากแผนภาพสมดุลแรงในรูปที่ 2 สามารถเขียนสมการผลรวมของแรงในแนวแกน x ได้ คือ

$$(\sigma_x + d\sigma_x) \frac{\pi}{4} (D + dD)^2 - \sigma_x \frac{\pi}{4} D^2 + .. \\ .. + p \left(\pi D \cdot \frac{dx}{\cos \alpha} \right) \sin \alpha + \mu p \left(\pi D \cdot \frac{dx}{\cos \alpha} \right) \cos \alpha = 0 \quad (4)$$

และถ้าไม่คิดผลของเทอมที่มีค่าน้อย สมการจะลดรูปได้ดังนี้

$$D d\sigma_x + 2[\sigma_x + p(1 + \mu \cot \alpha) dD] = 0 \quad (5)$$

$$2rdr\sigma_x + r^2 d\sigma_x + 2prdr + \frac{2rdr \cdot \tau}{\tan \alpha} = 0 \quad (6)$$

เมื่อ D, r คือเส้นผ่านศูนย์กลางและรัศมีของช่วงความยาว dx

p คือแรงปฎิกิริยาของแท่งอลูมิเนียม

μ คือสัมประสิทธิ์ความเสียดทานระหว่างผิวสัมผัส

τ คือความเค้นเฉื่อนจากแรงเสียดทาน

ในท่านองเดียว กัน พิจารณาผลรวมของแรงในแนวรัศมี จะได้ ความเค้นที่จะทำให้ด้วยแตก (die-breaking stress) และในสมการที่ 7 จัดรูปสมการใหม่ และไม่มีคิดเทอมที่มีค่าห้อยจะได้ความเค้นในแนวรัศมี แสดงในสมการที่ 8 คือ

$$\sigma_r (\pi D dx) + \left(\pi D \frac{dx}{\cos \alpha} \right) \cos \alpha - \mu p \left(\pi D \frac{dx}{\cos \alpha} \right) \sin \alpha = 0 \quad (7)$$

$$\sigma_r = -p(1 - \mu \tan \alpha) \quad (8)$$

ในการนี้ที่มุ่งมีขนาดเล็ก $\mu \tan \alpha$ ไม่จำเป็นต้องนำมาคำนึงไว้ $\sigma_r = -p$ และถ้าให้ $B = \mu \cot \alpha$ เมื่อทำการอินทิเกรตผลลัพธ์ สมการเชิงอนุพันธ์และจัดรูปสมการใหม่ให้ง่ายขึ้น จะได้สมการความ เค้นอัดเฉลี่ยเป็น

$$\frac{\sigma}{\sigma_r} = \left[1 + \frac{1}{B} \right] \left\{ 1 - \left[\frac{D_o}{D_f} \right]^{2B} \right\} \quad (9)$$

เมื่อ $B = \mu \cot \alpha$

D_o, D_f = เส้นผ่าศูนย์กลางของแท่งอลูมิเนียมก่อน และหลังการดันขึ้นรูป

3. การทดสอบ

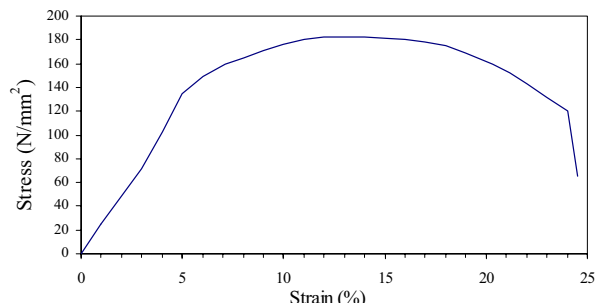
3.1 การเตรียมชิ้นงานในการทดสอบ

อลูมิเนียม 6063 เป็นวัสดุที่ใช้ในการทดสอบ ส่วนผสมทางเคมี ของอลูมิเนียมชนิดนี้แสดงในตารางที่ 1 วัสดุก่อนการทดสอบนั้นได้ทำการทดสอบเพื่อหาค่าคุณสมบัติทางกล โดยทำการทดสอบแรงดึงด้วย เครื่องทดสอบบัสดุ Testometric Testing Machine รับโหลดสูงสุด 10 ตัน ชิ้นงานทดสอบใช้ตามมาตรฐาน American Society for Testing and Material (ASTM) ความยาวชิ้นงานทดสอบ (gauge length) 40 มิลลิเมตร ขนาดเส้นผ่าศูนย์กลาง 8 มิลลิเมตร ความเร็วในการดึง 10 มิลลิเมตรต่อนาที ผลการทดสอบได้ແນgapความสัมพันธ์ระหว่าง ความเค้นความเครียด ดังแสดงในรูปที่ 3 ได้ค่า Yield stress เท่ากับ $\sigma_y = 140 \text{ MPa}$

ชิ้นงานที่ใช้ในการทดสอบเป็น แท่งอลูมิเนียมหน้าตัดกลม ขนาด เส้นผ่าศูนย์กลาง 13 มิลลิเมตร ถูกตัดเป็นชิ้นสั้นๆ ในแต่ละชิ้นมีความ ยาว 20 มิลลิเมตร และก่อนทำการดันขึ้นรูป จะเคลือบผิวแท่งอลูมิเนียม ด้วยสารหล่อลื่น จากนั้นนำแท่งอลูมิเนียมที่ถูกเคลือบผิวด้วยสารหล่อลื่นนี้ไปใส่ไว้ในเบ้าประคง (container) เพื่อทำการดันขึ้นรูป

ตารางที่ 1 ส่วนประกอบหลักของ Al 6063

ส่วนผสม (wt%)				
Cu	Mg	Si	Cr	Al
0.27	1.0	0.6	0.2	REM



รูปที่ 3 Stress-strain curve ของ Al 6063

3.2 อุปกรณ์ที่ใช้ในการทดลอง

อุปกรณ์ที่ใช้สำหรับการทดสอบนี้ ประกอบไปด้วย ชุดจับยึดสาย (die holder) เบ้าประคงแท่งอลูมิเนียม (container) ตัวกด (punch) และสาย แสดงไว้ในรูปที่ 4 และ รูปที่ 5 ซึ่งอุปกรณ์ทั้งหมดนี้ทำด้วย เหล็กกล้าเครื่องมือ SKD 11 ซึ่งเป็นวัสดุสำหรับทำแม่พิมพ์ขึ้นรูปแบบเย็น ซึ่งตัวกดและสาย ได้ผ่านกระบวนการอบชุบเพื่อให้มีความแข็งและ ความแข็งแรงมากขึ้น ทนต่อการสึกหรอที่เกิดจากการบวนการดันขึ้นรูป และมีอายุการใช้งานนาน ค่าความแข็งของตัวกดและสาย ภายหลังจาก การอบชุบแล้วมีค่าเท่ากับ 60 HRC

สารหล่อลื่นที่ใช้ในการดันขึ้นรูปในการทดสอบนี้ คือ Sodium stearate soap ซึ่งเป็นสารหล่อลื่นชนิดผงที่ใช้ในอุสาหกรรมการดึงและ ดันขึ้นรูปโลหะเพื่อลดความเสียดทานระหว่างผิวสัมผัส ในตารางที่ 2 แสดงคุณสมบัติเฉพาะของสารหล่อลื่นชนิดนี้



รูปที่ 4 ชุดอุปกรณ์ที่ใช้ในการทดสอบ Die holder, container, ring holder และ punch

ตารางที่ 2 คุณสมบัติเฉพาะของ Sodium stearate soap (Na-ST)

SPECIFICATION	
FREE FATTY ACID	2% MAX
APPEARANCE	WHITE POWDER
FREE ALKALI	2% MAX
SODIUM CONTENT	7.5-8.5 %
MELTING POINT	> 200°C
LOSS OF MOISTURE AT 105°C	8 % MAX

ชุดด้ายที่ใช้ในการทดลองมีขنانาครึ่งมุมดาย (α) 2 มุมคือ (1) ครึ่งมุม 22.5 องศา โดยมีอัตราส่วนการลดขนาดพื้นที่หน้าตัด 4 ขนาด คือ 20 30 35 และ 43% (2) ครึ่งมุม 30 องศา โดยมีอัตราส่วนการลดขนาดพื้นที่หน้าตัด 41%



รูปที่ 5 ชุดด้าย ครึ่งมุม 22.5 และ 30 องศา

3.3 การทดสอบความแข็ง (Hardness Test)

ในการทดสอบคุณสมบัติค่าความแข็งของอลูมิเนียมที่ผ่านการดันขึ้นรูปจากการทดสอบนี้ ทำการทดสอบและวัดโดย เครื่องทดสอบความแข็ง Micro Vickers Hardness Testing (Vickers scale HV) หน้างักกด 0.3 กิโลกรัม ใช้เวลากด 10 วินาที ซึ่งเหตุผลที่ใช้นี้เนื่องจากรอยกดมีขنانาเล็กสามารถวัดค่าความแข็งได้อย่างละเอียดบนพื้นที่หน้าตัดของชิ้นงาน

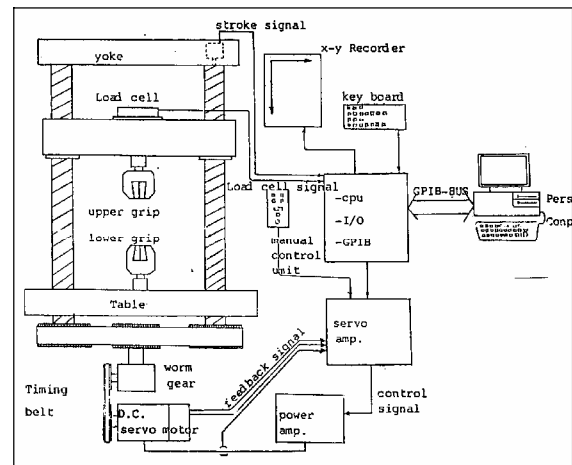
4. ผลการทดลองและวิเคราะห์ผลการทดลอง

จากการทดลองดันขึ้นรูป ค่าความเค้นเฉลี่ยในการดันขึ้นรูป (extrusion stress) แสดงผลไว้ในรูปที่ 8 และรูปที่ 9 ซึ่งในรูปเป็นการแสดงความสัมพันธ์ระหว่าง ค่าความเค้นเฉลี่ยในการดันขึ้นรูปกับระยะทางการเคลื่อนที่ของตัวกดและค่าความเค้นที่คำนวนได้จากการที่ 9 โดยที่ค่าความเค้นเฉลี่ยในการดันขึ้นรูปนี้ได้จากเครื่องทดสอบวัสดุ ซึ่งรับแรงจากตัวกดผ่านทางไฮดรอลิกส์ และประมวลผลโดยคอมพิวเตอร์ ให้เปลี่ยนเป็นความเค้นขณะดันขึ้นรูป โดยในรูปที่ 6 และ 7 แสดง เครื่องทดสอบวัสดุและโครงสร้างการทำงาน รูปที่ 8 เป็นการดันขึ้นรูปที่สภาวะครึ่งมุมดาย 22.5 องศา ในอัตราส่วนการลดขนาดพื้นที่หน้าตัด ต่างกัน 4 ขนาด พบร่วมกัน ค่าความเค้นเฉลี่ยในการดันขึ้นรูปมีค่าเพิ่มมากขึ้น เมื่ออัตราส่วนการลดขนาดพื้นที่หน้าตัดมากขึ้น โดยค่าความเค้นเฉลี่ยในดันขึ้นรูปสูงสุดที่เกิดขึ้นในอัตราส่วนการลดขนาดพื้นที่หน้าตัด 20 30 35 และ 43% คือ 254 318 330 และ 452 N/mm² ตามลำดับ และ ในรูปที่ 9 เป็นการดันขึ้นรูปที่สภาวะครึ่งมุมดาย 30 องศา ที่อัตราส่วนการลดขนาดพื้นที่หน้าตัด 41% ค่าความเค้นเฉลี่ยในการดันขึ้นรูปสูงสุดคือ 440 N/mm² และเมื่อนำผลที่ได้จากรูปที่ 8 และรูปที่ 9 มาเปรียบกับสมการที่ 9 พบร่วมกัน ค่าความเค้นอัดที่ได้จากการทดลอง ทั้งนี้เพราในสมการที่ 9 นั้น ไม่ได้พิจารณาถึงแรงเสียดทานที่เกิดขึ้นระหว่าง แท่งอลูมิเนียมกับบันได ประกอบของขณะดันขึ้นรูป จากการทดลองของ Bakhshi และ Jooybari (2002) [5] พบร่วมกัน ค่าความเค้นเฉลี่ยในการดันขึ้นรูปที่ได้จากการ

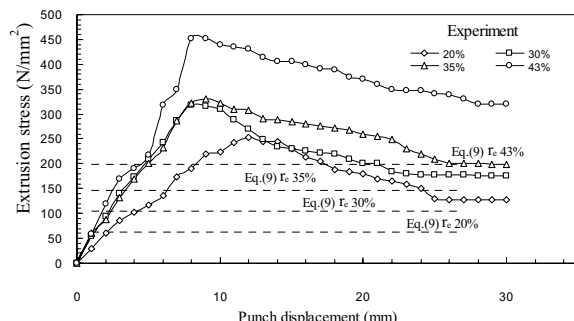
ดันขึ้นรูปด้วย คือ เมื่อความยาวของแท่งอลูมิเนียมมาก ผิวสัมผัสระหว่างแท่งอลูมิเนียมกับบันไดจะคงอยู่มากขึ้นตาม ทำให้มีแรงเสียดทานมาก แรงเสียดทานนี้จึงส่งผลโดยตรง ทำให้แรงและความเค้นที่ใช้ในการดันขึ้นรูปมากขึ้นไปด้วย ทำให้ผลที่ได้จากการทดลองและสมการที่ 9 ต่างกันค่อนข้างมาก



รูปที่ 6 ภาพด้านหน้าของเครื่องทดสอบวัสดุ

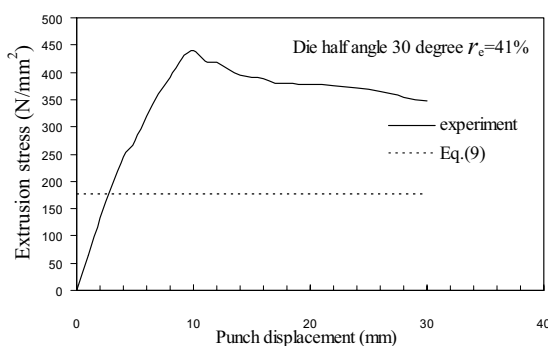


รูปที่ 7 โครงสร้างการทำงานของเครื่องทดสอบวัสดุ



รูปที่ 8 แสดงความเค้นในการดันขึ้นรูปที่ $\alpha = 22.5^\circ$, $I_e = 20, 30, 35$ และ 43% เปรียบเทียบระหว่างผลจากการทดลอง และสมการที่ 9

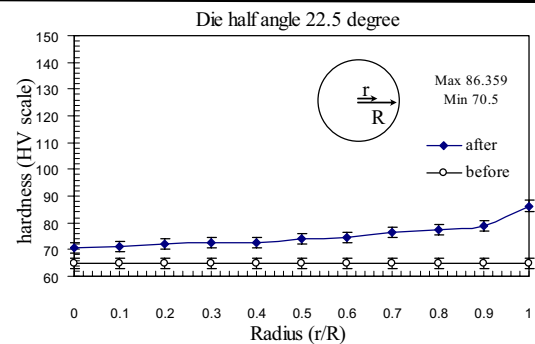
หลังจากการดันขึ้นรูป นำแท่งอลูมิเนียมที่ผ่านการดันขึ้นรูปแล้วไปทำการทดสอบค่าความแข็งภายใต้หน้าตัดเพื่อศึกษาถึง ลักษณะการเปลี่ยนแปลงค่าความแข็ง เทียบกับค่าความแข็งของแท่งอลูมิเนียมก่อน



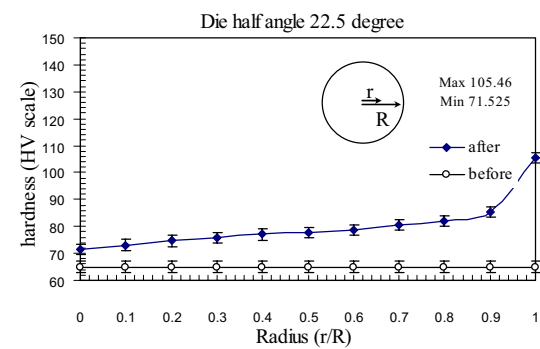
รูปที่ 9 แสดงความเค้นในการดันขึ้นรูปที่ $\alpha = 30^\circ$, $r_e = 41\%$ เปรียบเทียบระหว่างผลจากการทดลอง และสมการที่ 9

ทำการดันขึ้นรูป จากนั้นสร้างกราฟเพื่อพิจารณาความสัมพันธ์ระหว่าง ระยะทางตามแนวรัศมีจากจุดศูนย์กลาง จนถึงผิวของแท่งอลูมิเนียม (แกน x) เทียบกับค่าความแข็งที่ได้ (แกน y) และในรูปที่ 10-14 โดยที่ ค่าความแข็งของแท่งอลูมิเนียมก่อนทำการดันขึ้นรูปมีค่าประมาณ 63-65 HV ทำการทดสอบโดยใช้หัวหนักกด 0.3 กิโลกรัม เวลาในการกด 10 วินาที

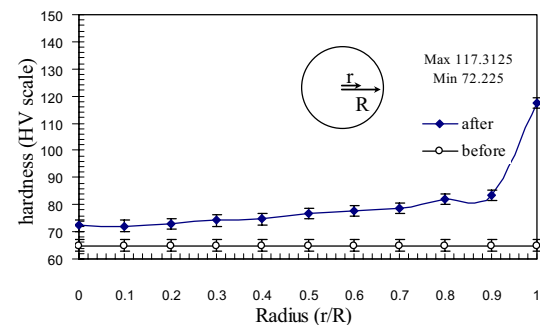
ในรูปที่ 10-13 แสดงค่าความแข็งของแท่งอลูมิเนียมที่ผ่านการดันขึ้นรูปแล้วกับค่าความแข็งของแท่งอลูมิเนียมก่อนทำการดันขึ้นรูป โดยทำการทดลองนั้นรูปที่ส่วนที่สูงมุ่งมาด้วย 22.5 องศา อัตราส่วนการลดขนาดพื้นที่หน้าตัด 20 30 35 และ 43% ตามลำดับ ผลที่ได้อีก่อ ความแข็งของแท่งอลูมิเนียมมีค่าเพิ่มขึ้นจากเดิม โดยค่าความแข็งนี้ไม่ได้เพิ่มขึ้นอย่างส่วนมากเสมอเท่ากันตลอดทั้งหน้าตัด แต่จะเพิ่มมากในบริเวณผิวของแท่งอลูมิเนียมลิขิกเข้าไป 10-20% จากผิวท่านั้น และค่าความแข็งที่เกิดขึ้นมากที่สุดในส่วนที่สูงมุ่งมาด้วย 22.5 องศา อัตราส่วนการลดขนาดพื้นที่หน้าตัด 20 30 35 และ 43% นั้นได้ที่ผิวเท่ากับ 86.3 105.4 117.3 และ 141 HV ตามลำดับ จากผลการทดลองที่ได้นั้น อาจคาดคะเนได้ว่า ที่อัตราส่วนการลดขนาดพื้นที่หน้าตัดไม่มาก แท่งอลูมิเนียมจะให้ผ่านด้วยได้ง่าย โดยที่โครงสร้างภายในแท่งอลูมิเนียม บริเวณที่สัมผัสน้ำดาย เกิดการอัดตัวและเปลี่ยนแปลงรูปร่างไปจากเดิม เพียงเล็กน้อย ทำให้ค่าความแข็งมีค่าเพิ่มไม่มากนัก แต่มีอัตราส่วนการลดขนาดพื้นที่หน้าตัดมากขึ้น แท่งอลูมิเนียมจะให้ผ่านด้วยได้ยากขึ้น สังเกตได้จากความเค้นอัดที่มีค่าสูงขึ้นในรูปที่ 8 ทำให้โครงสร้างภายในแท่งอลูมิเนียมบีบอัดมากขึ้น ให้ผ่านด้วยเจ็บให้ค่าความแข็งมีค่ามากขึ้นตาม และสาเหตุที่ค่าความแข็งเพิ่มขึ้นมากเฉพาะบริเวณผิวของแท่งอลูมิเนียม อาจเนื่องมาจากแรงเสียดทานที่เกิดขึ้นระหว่างดယกับผิวของแท่งอลูมิเนียมขณะดันขึ้นรูป แรงเสียดทานนี้จะทำให้เกิดบริเวณการเปลี่ยนแปลงรูปร่าง (deformation zone) และความเค้นเฉือนภายในเนื้อวัสดุ หลังจากแท่งอลูมิเนียมถูกดันผ่านด้วยอุปกรณ์ ความเค้นเฉือนนี้จะกลับกลายเป็นความเค้นตกค้าง (residual stress) ซึ่งทำให้ค่าความแข็งบริเวณผิวของแท่งอลูมิเนียม มีค่ามากกว่าบริเวณกลางหน้าตัด ในบริเวณที่แท่งอลูมิเนียมสัมผัสน้ำดายลึกไปในผิวโลหะเพียง 10-20% ของหน้าตัดท่านั้น



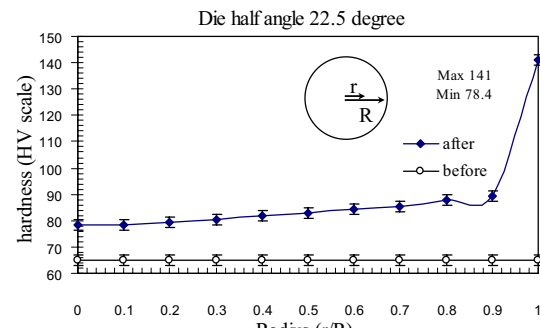
รูปที่ 10 ค่าความแข็งบนหน้าตัดแท่งอลูมิเนียมก่อนและหลังการดันขึ้นรูปที่ส่วนที่สูง $\alpha = 22.5^\circ$, $r_e = 20\%$



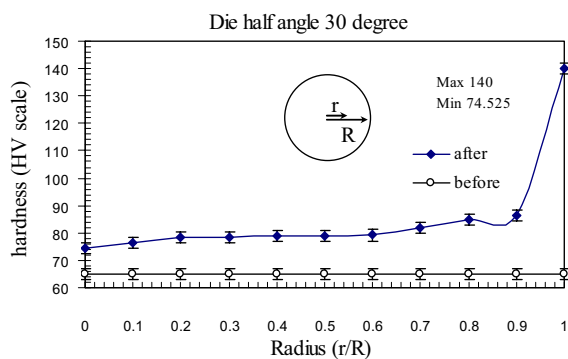
รูปที่ 11 ค่าความแข็งบนหน้าตัดแท่งอลูมิเนียมก่อนและหลังการดันขึ้นรูปที่ส่วนที่สูง $\alpha = 22.5^\circ$, $r_e = 30\%$



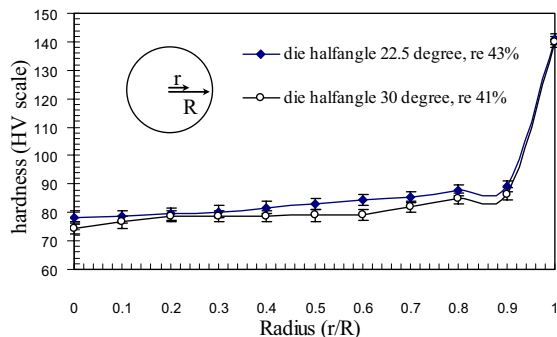
รูปที่ 12 ค่าความแข็งบนหน้าตัดแท่งอลูมิเนียมก่อนและหลังการดันขึ้นรูปที่ส่วนที่สูง $\alpha = 22.5^\circ$, $r_e = 35\%$



รูปที่ 13 ค่าความแข็งบนหน้าตัดแท่งอลูมิเนียมก่อนและหลังการดันขึ้นรูปที่ส่วนที่สูง $\alpha = 22.5^\circ$, $r_e = 43\%$



รูปที่ 14 ค่าความแข็งบนหน้าตัดแห่งอลูมิเนียมก่อนและหลังการดันขึ้นรูป ที่ส่วน $\alpha = 30^\circ$, $r_e = 41\%$



รูปที่ 15 แสดงค่าความแข็งเปรียบเทียบระหว่าง ครึ่งมุมด้วย 22.5 และ 30 องศา ที่มีอัตราส่วนการลดขนาดใกล้เคียงกัน

ในรูปที่ 14 เป็นผลที่ได้จากการทดลองที่ส่วนของมุมด้วย 30° อัตราส่วนการลดขนาดพื้นที่หน้าตัด 41% ค่าความแข็งที่วัดได้ สูงสุดเกิดขึ้นที่ผิว มีค่าเท่ากับ 140 HV เช่นเดียวกับที่ส่วนของมุมด้วย 22.5° องศา คือความแข็งไม่ได้เพิ่มขึ้นเท่ากันตลอดทั้งหน้าตัดแห่งอลูมิเนียม ส่วนในรูปที่ 15 เป็นการเปรียบเทียบความแข็งที่ขนาดครึ่งมุมด้วยต่างกัน แต่อัตราส่วนการลดขนาดพื้นที่หน้าตัดใกล้เคียงกันคือที่ครึ่งมุมด้วย 22.5° องศา อัตราส่วนการลดขนาดพื้นที่หน้าตัด 43% และ ครึ่งมุมด้วย 30° องศา อัตราส่วนการลดขนาดพื้นที่หน้าตัด 41% จากผลการทดลองที่ได้ พบว่าเมื่อพิมพ์ขนาดของมุมด้วยขึ้นแต่อัตราส่วนการลดขนาดพื้นที่หน้าตัดใกล้เคียงกัน ค่าความแข็งของแห่งอลูมิเนียมที่ได้รับมีใกล้เคียงกัน คือ มีค่าความแข็ง 141 และ 140 HV ตามลำดับ ซึ่งแตกต่างกันเพียง 1 HV เท่านั้น ผลการทดลองนี้แสดงให้เห็นแนวโน้มว่า ขนาดของครึ่งมุมด้วยไม่ทำให้ค่าความแข็งในแห่งอลูมิเนียมเพิ่มขึ้นตาม หากอัตราส่วนการลดขนาดพื้นที่หน้าตัดยังคงเท่ากันหรือใกล้เคียงกัน

5. สรุปผลการทดลอง

จากการทดลองดันขึ้นรูปแห่งอลูมิเนียมที่ส่วนของมุมด้วย เพื่อศึกษาตัวแปรที่ส่งผลกระทบต่อค่าความเด่นในการดันขึ้นรูป และค่าความแข็งของแห่งอลูมิเนียม โดยในการทดลองทำการเปลี่ยนแปลงอัตราส่วนการลดขนาดพื้นที่หน้าตัด 4 ขนาด คือ 20 30 35 และ 43% ที่มุมด้วย 22.5° องศา และ อัตราส่วนการลดขนาดพื้นที่หน้าตัด 41% ที่

มุมด้วย 30° องศา จากผลการทดลองพบว่าขนาดของอัตราส่วนการลดขนาดพื้นที่หน้าตัดที่มากขึ้น ทำให้ค่าความเด่นในการดันขึ้นรูปมีค่ามากขึ้นตาม แต่มื่อนำค่าความเด่นที่ได้จากการทดลองมาเปรียบเทียบ กับค่าความเด่นที่ได้จากการคำนวณในสมการที่ 9 ซึ่งในสมการที่ 9 นั้น ไม่คิดแรงเสียดทานจะดันขึ้นรูประหว่างแห่งอลูมิเนียมกับเนื้อประดอง ทำให้ผลที่ได้จากการทดลองและสมการที่ 9 มีค่าต่างกันค่อนข้างมาก อันเนื่องมาจากแรงเสียดทานดังกล่าว และในส่วนของค่าความแข็งในแห่งอลูมิเนียม หลังจากการทดลองดันขึ้นรูปที่ขนาดมุมด้วย 22.5 องศา พบว่าค่าความแข็งเพิ่มขึ้นจากเดิม เมื่ออัตราส่วนการลดขนาดพื้นที่หน้าตัดเพิ่มขึ้น และเมื่อเปรียบเทียบที่ขนาดมุมด้วยต่างกันคือที่มุม 22.5 และ 30 องศา แต่อัตราส่วนการลดขนาดพื้นที่หน้าตัดใกล้เคียงกัน ค่าความแข็งที่ได้มีค่าใกล้เคียงกันมาก จึงสรุปได้ว่าตัวแปรที่ส่งผลกระทบต่อค่าความเด่นในการดันขึ้นรูปในการทดลองนี้ คือ อัตราส่วนการลดขนาดพื้นที่หน้าตัด และมุมด้วย ส่วนในกรณีค่าความแข็ง ขนาดของมุมด้วย 22.5 และ 30 องศา ไม่ส่งผลกระทบต่อค่าความแข็งของชิ้นงานในกรณีนี้ เพื่อให้ทราบถึงแนวโน้มของค่าความแข็งให้ชัดเจนมากยิ่งขึ้น ควรมีการศึกษาเบรรี่บินเทียนที่ขนาดของมุมด้วยให้มีขนาดแตกต่างกันมากๆ ที่อัตราส่วนการลดขนาดของพื้นที่หน้าตัด ที่เท่ากัน ซึ่งทางผู้เขียนเห็นว่าควรจะนำไปเป็นงานวิจัยเพิ่มเติมในภายหลังต่อไป

6. กิตติกรรมประกาศ

ขอขอบคุณ บ. อิมพีเรียล อินดัสเตรียล เคมิคอลส์ (ประเทศไทย) จำกัด ที่ให้การสนับสนุนการทดลองนี้ที่ใช้ในการทดลอง และคณะอาจารย์ทุกท่านที่ให้คำปรึกษาแนะนำจนสำเร็จลุล่วงได้ด้วยดี

เอกสารอ้างอิง

- [1] B. Avitzur, Metal Forming Processes and Analysis, McGraw-Hill, New York, 1986
- [2] M. Noorani, and S.J. Hosseiniipour, "Experimental and numerical study of optimal die profile in coldforward rod extrusion of aluminum", Journal of Materials Processing Technology, 2005, pp. 1572-1577.
- [3] S.O. Onuh, M. Ekoja, and M.B. Adeyemi, "Effect of die geometry and extrusion speed on the cold extrusion of aluminum and lead alloy", Journal of Materials Processing Technology, 2002, pp.274-285.
- [4] Edward M. Mielnik, Metalworking Science and Engineering, McGraw-Hill, New York, 1991, pp. 397-463.
- [5] M. Bakhshi, "A theoretical and experiment study of friction in metal forming by the used of the forward extrusion process", Journal of Materials Processing Technology, 2002, pp. 369-374.